

محاسبه جریان ژئوستروفیک در اقیانوس اطلس شمالی

مهری فلاحتی^۱، مسعود صدری نسب^{۲*}

mfallahi2012@gmail.com

^۱ دانشجوی دکتری، دانشگاه علوم و فنون دریایی خرمشهر، خرمشهر

masoud.sadri@ut.ac.ir

^۲ نویسنده مسئول، دانشیار، دانشگاه تهران، دانشکده محیط‌زیست، تهران

تاریخ پذیرش: ۹۶/۰۷/۰۸

تاریخ دریافت: ۹۶/۰۱/۱۴

چکیده

در این تحقیق جریان در ناحیه‌ای از اقیانوس اطلس شمالی با به‌دست آوردن شبیب یک سطح فشار ثابت نسبت به یک سطح ژئوپتانسیل ثابت، محاسبه شده است. ابتدا، تفاوت در ژئوپتانسیل میان دو سطح فشار ثابت در موقعیت‌های هیدروگرافی مختلف برآورد شده، سپس شبیب سطح فشار بالای نسبت به پایینی و درنهایت جریان ژئوستروفیک در سطح بالای نسبت به جریان در لایه پایینی محاسبه شده است. برای به‌دست آوردن جریان‌ها به صورت تابعی از عمق، از هر تراز نسبت به تراز مرجع انتگرال گیری شده است. نتایج این مطالعه نشان می‌دهند که بیشینه جریان در منطقه موردمطالعه $22/3$ سانتی‌متر بر ثانیه می‌باشد، همچنین آنالیز داده‌ها نشان می‌دهد که تا عمق 150 متر شرایط شارش، باروکلینیکی و از آن عمق به بعد شرایط شارش باروتروپیک است، به علاوه نتایج این تحقیق نشان داد که شارش در راستای قائم در این منطقه می‌تواند هم شرایط باروکلینیک و هم باروتروپیک داشته باشد. همچنین مقایسه این مطالعه با داده‌های میدانی تطابق خوبی را نشان می‌دهند.

واژه‌های کلیدی: اقیانوس اطلس شمالی، جریان ژئوستروفیک، شارش باروتروپیکی، شارش باروکلینیکی، سطح ژئوپتانسیل

۱. مقدمه

کوریولی متنج از جریان‌های افقی موازن می‌شوند که به عنوان ترازمندی ژئوستروفیکی نامیده می‌شود.

نیروهای غالبی که در راستای قائم و افقی عمل می‌کند، به ترتیب گرادیان فشار و وزن آب در راستای قائم و گرادیان فشار و نیروی کوریولی در راستای افق هستند. همچنین فشار در هر نقطه ستون آب با تقریب خوبی برابر با وزن آب ستون بالای آن نقطه است [۱].

جریان‌های ژئوستروفیکی بخش بزرگی از جریان‌های اقیانوسی را تشکیل می‌دهند که نقش عمداتی در تغییرات آب‌وهایی ایفا می‌نمایند. براساس اقیانوس‌شناسی کلاسیک، جریان ژئوستروفیکی می‌تواند مشتقی از گرادیان فشار باشد.

با فرض ثابت بودن چگالی آب، جریان ژئوستروفیکی را می‌توان از تopoگرافی دینامیکی^۱ برآورد کرد. در تحقیق

پایش حوزه‌های آبی یکی از اهداف مجتمع علمی در تمام جهان است. بررسی فراسنج‌های فیزیکی، جریان‌های دریایی، تأثیر آن بر آب‌وهوا و اقلیم خشکی‌ها از موضوع‌های مورد تحقیق در این مجتمع است. مطالعه جریان‌های دریایی در مسائل عمدات و مهمی همچون مدیریت منابع دریایی و ساحلی، ماهیگیری و مسیریابی از اهمیت زیادی برخوردار است. جریان ژئوستروفیک که از ترازمندی نیروی گرادیان فشار و نیروی کوریولی ایجاد می‌شود، عامل اصلی در ایجاد جریان‌ها در مقیاس بزرگ است. بنابراین در این تحقیق به چگونگی به‌دست آوردن آن در اطلس شمالی پرداخته شده است.

دور از کرانه‌های اقیانوس از بالا و پایین لایه اکمن، برای فاصله‌های افقی بیشتر از ده‌ها کیلومتر و زمان‌های بیش از چند روز، گرادیان‌های افقی فشار، با تقریب خوبی با نیروی

از ارتفاع سنجی ماهواره‌ای از شب سطح دریا محاسبه می‌شوند دقت (3 ± 5 cm/s) را دارند [۷].

یوچیدا و همکارانش در تحقیق خود، داده‌های اندازه‌گیری شده به وسیله جریان‌سنج‌های متحرک در کوروشیو^۹ را با جریان‌هایی که به واسطه‌ی داده‌های ارتفاع سنجی ماهواره‌ای به دست آورده بودند، مقایسه نمودند. یافته‌های این تحقیق نشان می‌دهد که اگر شبی در فاصله افقی ۱۲/۵ کیلومتر محاسبه شود، تفاوت میان دو اندازه برای جریان‌ها بیشتر از ۱۵۰ سانتی‌متر بر ثانیه خواهد بود [۸].

همچنین جان و همکارانش، جریان گلف استریم را در شمال شرق دماغه هاتراس^{۱۰} اندازه‌گیری و اندازه‌ها را با سرعت محاسبه شده به واسطه داده‌های هیدروگرافی مقایسه کردند. این محققان دریافتند که سرعت اندازه‌گیری شده در هسته جریان، در عمق‌های کمتر از ۵۰۰ متر حدود ۱۰ تا ۲۵ سانتی‌متر بر ثانیه سریع‌تر از سرعتی است که با معادله‌های ژئوستروفیکی در عمق ۲۰۰۰ متر محاسبه می‌شود. بیشینه سرعت در هسته، بزرگ‌تر از ۱۵۰ سانتی‌متر بر ثانیه بوده که دارای خطایی تقریباً برابر ۱۰ درصد است [۹].

مرسیر و همکارانش چگونگی استفاده از روش وارونگی را مطالعه کرده و نتیجه می‌گیرد که می‌توان جریان را با استفاده از خطوط مقطعی هیدروگرافی با پایستگی جرم و شوری محاسبه نمود. با این مطالعه گردش لایه‌های بالایی از حوضه‌های شرقی اطلس جنوبی را با استفاده از داده‌های هیدروگرافی و اندازه‌گیری‌های مستقیم از جریان در یک مدل تعیین نمودند [۱۰].

هدف از تحقیق حاضر، محاسبه جریان ژئوستروفیکی به واسطه محاسبه شبی یک سطح فشار ثابت نسبت به یک سطح ژئوپتانسیل است. با استفاده از نتایج این محاسبات علاوه بر بزرگی جریان، می‌توان نوع شارش را در اقیانوس اطلس شمالی تعیین نمود. ناحیه موردبررسی در جایی بسیار دور از ساحل در اطلس شمالی قرار دارد.

یانگ و همکارانش سرعت جریان ژئوستروفیکی را به همین روش برآورد نموده‌اند و این نتایج با اندازه‌گیری‌های میدانی مقایسه شده و توافق خوبی را با هم دارند. [۲]

ویز و همکارانش نتیجه گرفتند که شارش‌های بزرگ مقیاس در اتمسفر و اقیانوس تقریباً در موازنه‌های ژئوستروفیکی رخ می‌دهند. مطالعه‌های آن‌ها نشان می‌دهد که اختشاش میرای شبه ژئوستروفیکی^{۱۱} وجود دارد [۳].

پیچک‌هایی با هسته گرم^{۱۲} اغلب در پیچ و خم‌های جریان‌های مرزی غربی^{۱۳} شکل می‌گیرند. این پیچک‌ها بارها همراه آب‌هایی با چگالی کم که از جریان‌های مرزی غربی سرچشم می‌گیرند، ایجاد می‌شوند. در این رابطه مکدونالد و همکارانش، با استفاده از مدل ROMS^{۱۴} وضعیت جریان استرالیای شرقی^{۱۵} را در مدت زمان شکل گیری این چرخنده‌ها مورد بررسی قرار دادند. مقایسه خروجی‌های این مدل، با داده‌های ماهواره‌ای دمای سطحی دریا و پروفایل‌های قائم نشان می‌دهد، در طول دوره‌ای که پیچک‌ها حلقوی شده و شکل می‌گیرند، این مدل یک شبیه‌سازی واقعی از چرخنده را نشان می‌دهد. [۴].

کمل با استفاده از تحلیل داده‌های هیدروگرافی، جریان‌ها را در سطح و اعمق ۳۰، ۵۰، ۷۵، ۱۰۰، ۲۰۰ و ۳۰۰ متر سواحل دریای مدیترانه، در چهار فصل محاسبه کرد. او نتیجه گرفت، گردش سطحی با گردباد هوایی در زمستان، بهار و تابستان در خلیج سلوم^{۱۶} شکل می‌گیرد. همچنین در نواحی نزدیک ساحل، جریان‌ها شرق سو و در نواحی عمیق‌تر جریان‌ها غرب سو هستند [۵].

پلاتا و همکارانش مشخصه‌های امواج داخلی در باهایا باندars مکزیک^{۱۷} را با استفاده از داده‌های میدانی در تاریخ ۲۴ و ۲۵ آوریل ۲۰۰۱ تعیین نمودند. مطالعه آن‌ها نشان می‌دهد که گردش ژئوستروفیکی در خلیج مکزیک در فصل بهار نقش مهمی در مبادله جرم آب میان ناحیه محصور به ساحل شرقی، کناره خلیج و آب آزاد ایفا می‌کند [۶].

ستراب و همکارانش در مطالعه خود روی جریان‌های سطحی کالیفرنیا نشان دادند که جریان‌هایی که به واسطه اندازه‌گیری

از عمق، برش جریان، از جایی که جریان‌ها شناخته شده هستند، انتگرال گیری می‌شود (شکل ۱).

برای محاسبه جریان‌های ژئوستروفیکی، اقیانوس‌شناسان شکل اصلاح‌شده‌ای از معادله هیدرواستاتیک را استفاده می‌کند.

گرادیان فشار قائم (۱) نوشته می‌شود:

$$\frac{\delta p}{\rho} = \alpha \delta p = -g \delta z \quad (2\text{ الف})$$

$$\alpha \delta p = \delta \Phi \quad (2\text{ ب})$$

اینجا $\alpha(s,t,p)$ حجم ویژه^{۱۱} است و (۲ب) از (۲الف) نسبت به فاصله تبعیت می‌نماید. دیفرانسیل گیری از (۲ب) نسبت به فاصله افقی x اجازه می‌دهد که موازن‌های ژئوستروفیک بر حسب شب سطح فشار ثابت، با استفاده از $f = 2\Omega \sin \phi$ ، نوشته شود.

$$\alpha \frac{\delta p}{\delta x} = \frac{1}{\rho} \frac{\delta p}{\delta x} = -2\Omega v \sin \phi \quad (3\text{ الف})$$

$$\frac{\partial \Phi(p = p_0)}{\partial x} = -2\Omega v \sin \phi \quad (3\text{ ب})$$

که در اینجا ϕ ژئوپتانسیل در سطح فشار ثابت است. با انتگرال گیری از (۳ب)، با توجه به شکل ۱، تفاوت ژئوپتانسیل میان دو سطح فشار ثابت محاسبه می‌شود؛ بنابراین با انتگرال گیری از معادله (۳ب) در ایستگاه A می‌توان نوشت:

$$\Phi(P_{1A}) - \Phi(P_{2A}) = \int_{P_{1A}}^{P_{2A}} \alpha(s, t, p) dp \quad (4)$$

همچنین حجم ویژه غیرمتعارف به صورت زیر نوشته می‌شود:

$$\alpha(s, t, p) = \alpha(35, 0, p) + \delta \quad (5)$$

در معادله (۵) $\alpha(35, 0, p)$ حجم ویژه آب دریا با شوری s و دمای صفر درجه سانتی‌گراد و فشار p است. در جمله دوم δ حجم ویژه غیرمتعارف^{۱۲} است. با جایگزینی معادله (۵) و (۴) می‌توان نوشت:

$$\Phi(P_{1A}) - \Phi(P_{2A}) = \int_{P_{1A}}^{P_{2A}} \alpha(35, 0, p) dp + \int_{P_{1A}}^{P_{2A}} \delta dp$$

$$\Phi(P_{1A}) - \Phi(P_{2A}) = (\Phi_1 - \Phi_2)_{std} + \int_{P_{1A}}^{P_{2A}} \delta dp$$

که در اینجا $(\Phi_1 - \Phi_2)_{std}$ فاصله ژئوپتانسیل استاندارد میان دو سطح فشار ثابت P_1 و P_2 است، به طوری که:

$$\Delta \Phi_A = \int_{P_{1A}}^{P_{2A}} \delta dp \quad (6)$$

۲. تئوری و محاسبات

در تعادل ژئوستروفیک نیروی کوریولی با گرادیان افقی فشار موازن شده و با در نظر گرفتن فرض‌های زیر می‌توان معادله‌های تعادل ژئوستروفیک را از معادله‌های حرکت به دست آورد.

$$(الف) \text{ شارش هیچ شتابی ندارد} \quad \left(\frac{\partial u}{\partial t} = \frac{\partial v}{\partial t} = \frac{\partial w}{\partial t} = 0 \right)$$

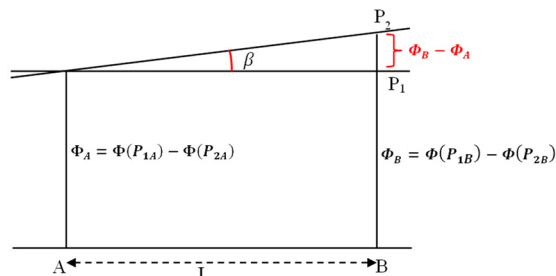
(ب) سرعت‌های افقی خیلی بزرگ‌تر از سرعت‌های عمودی هستند ($w < u, v$)؛

(ج) نیروی خارجی فقط گرانش است و اصطکاک خیلی کوچک است.

با این فرض‌ها، معادله‌های حرکت عبارتند از:

$$\frac{\partial p}{\partial x} = \rho f v \quad \frac{\partial p}{\partial y} = -\rho f u \quad \frac{\partial p}{\partial z} = -\rho g \quad (1)$$

معادله‌های (۱) معادله‌های ژئوستروفیک نامیده می‌شوند که در آن f پارامتر کوریولی است و از رابطه $f = 2\Omega \sin \phi$ به دست می‌آید. در این رابطه نیز ϕ عرض جغرافیایی و Ω سرعت زاویه‌ای چرخش زمین است.



شکل ۱. طرح هندسی که برای محاسبه ژئوستروفیک حاصل از هیدروگرافی استفاده شده است.

برای محاسبه جریان‌های ژئوستروفیکی به محاسبه گرادیان افقی فشار نیاز است. برای این امر، محاسبه شبیه یک سطح فشار ثابت نسبت به یک سطح ژئوپتانسیل ثابت روش مناسبی است. در این روش می‌توان برای محاسبه جریان با توجه به شکل (۱) به صورت زیر عمل نمود.

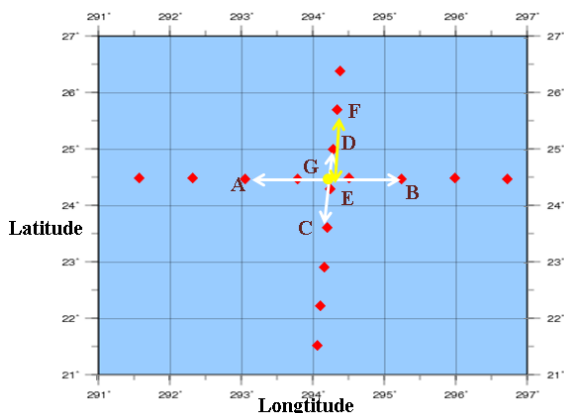
تفاوت در ژئوپتانسیل ($\Phi_A - \Phi_B$) میان دو سطح فشار ثابت (P₁, P₂) در موقعیت‌های A و B برآورد و شبیه سطح فشار بالایی نسب به پایینی محاسبه می‌شود. سپس جریان ژئوستروفیک در سطح بالایی نسبت به جریان در سطح پایینی محاسبه می‌شود. برای فراهم کردن جریان‌ها به صورت تابعی

شکل (۲) منطقه مورد مطالعه که قسمتی از اقیانوس اطلس شمالی در جوار خلیج مکزیک است را نشان می‌دهد. در این شکل همه ایستگاه‌هایی که حاوی اطلاعات موردنظر این تحقیق است با نقاط علامت‌گذاری شده‌اند.



شکل ۲. منطقه مورد مطالعه و ایستگاه‌های حاوی اطلاعات

همه اطلاعات موردنیاز این مطالعه که شامل شوری، دما، فشار، عمق و جریان هستند، از پایگاه اطلاعاتی نوآ^{۱۵} استخراج شده‌اند. از میان ایستگاه‌های نشان داده شده در شکل (۲) اطلاعات هفت ایستگاه A، B، C، D، E، F و G برای محاسبه جریان ژئوستروفیک در این تحقیق انتخاب شده‌اند، موقعیت دقیق تر این نقاط در شکل ۳ نشان داده شده است. در بخش اول این تحقیق از اطلاعات نقاط A، B، C و D برای محاسبه مؤلفه‌های جریان ژئوستروفیک در راستاهای شرق-غرب و شمال-جنوب و درنتیجه بزرگی جریان ژئوستروفیک در نقطه G استفاده می‌شود.



شکل ۳. موقعیت ایستگاه‌های انتخاب شده

در بخش دیگر این تحقیق لازم است با استفاده از اطلاعات ایستگاه‌های E و F مؤلفه شرق‌سوی جریان ژئوستروفیک حساب شود تا پس از بررسی برش مقطعی چگالی پتانسیل در آن ناحیه، نوع شارش را تعیین کرد.

در معادله (۶)، فاصله $\Delta\Phi_A$ ، فاصله ژئوپتانسیلی نامتعارف میان سطح‌های نام‌گذاری می‌شود. فاصله هندسی میان Φ_1 و Φ_2 به طور عددی تقریباً برابر با $\frac{\Phi_1 - \Phi_2}{g}$ است که در آن $g = 9.81 \text{ m/s}^2$ مقدار تقریبی گرانش زمین است. ژئوپتانسیل نامتعارف خیلی کوچک بوده و تقریباً $1/10$ درصد فاصله ژئوپتانسیل استاندارد است.

سپس ژئوپتانسیل نامتعارف میان دو سطح فشاری P_1 و P_2 که در دو ایستگاه هیدروگرافی A و B به فاصله L محاسبه شده، در نظر گرفته می‌شود. در شکل (۱) برای سادگی فرض می‌شود که سطح فشار ثابت پایینی یک سطح تراز است؛ بنابراین سطوح فشار ثابت و سطوح ژئوپتانسیل ثابت بر هم منطبق هستند و هیچ سرعت ژئوپتانسیلی در این عمق وجود ندارد.

شیب سطح بالایی عبارت خواهد بود از:

$$\frac{\Delta\Phi_A - \Delta\Phi_B}{L} = P_2$$

شیب سطح فشار ثابت

سرعت ژئوپتانسیل در سطح بالایی از رابطه (۳ب) محاسبه می‌شود:

$$V = \frac{\Delta\Phi_A - \Delta\Phi_B}{2 \Omega L \sin \phi} \quad (7)$$

که در این معادله V سرعت در سطح ژئوپتانسیل بالایی است. برای شارش در نیمکره شمالی، سرعت V عمود بر صفحه دو ایستگاه هیدروگرافی و درون صفحه جهت گیری خواهد شد؛ بنابراین آب سبک‌تر و گرم‌تر در نیمکره شمالی به سمت راست جریان سو پیدا می‌کند.

در اینجا می‌توان شیب سطح فشار ثابت را با استفاده از چگالی ρ به جای حجم ویژه α محاسبه کرد. در این تحقیق از حجم ویژه استفاده شده زیرا در اقیانوس شناسی، کاربردی رایج دارد و جدول‌های حجم ویژه نامتعارف و گذهای رایانه‌ای برای محاسبه نامتعارف‌ها به طور وسیعی در دسترسند. همچنین باید محاسبات با دقت چند قسمت در میلیون انجام شوند، بنابراین برای محاسبات و نوشتن برنامه رایانه‌ای موردنیاز و ترسیم‌ها، از نرم‌افزار اکسل^{۱۳} و سورفر^{۱۴} استفاده شده است [۱، ۱۱].

حجم ویژه غیرمتعارف ($S_{t,p}$)، به واسطه استفاده از مقادیر دما، شوری و فشار (t, S, p) در هر لایه محاسبه شده است و متوسط حجم ویژه غیرمتعارف، (δ)، برای لایه میان دو تراز فشار استاندارد برآورد شده است. بنابراین ژئوپتانسیل نامتعارف $\Delta\Phi$ با انتگرال گیری از (6) بین فشارهای P_1 در پایین هر لایه و P_2 بالای هر لایه قابل محاسبه است. فاصله دو ایستگاه شرقی و غربی A و B تقریباً ۲۲۰ کیلومتر و فاصله دو ایستگاه شمالی و جنوبی C و D تقریباً ۲۳۳ کیلومتر است. در این مطالعه جریان‌های ژئوستروفیک نسبت به 2000 dbar مطابق با اندادهای اولیه مورد بررسی قرار گرفته است. در نهایت اندازه و جهت جریان محاسبه می‌شوند، سپس بزرگی جریان بر حسب عمق فشاری (شکل 4) ترسیم می‌شود [۱۱، ۱].

بخش دوم تحقیق: در محدوده یادشده (شکل 2) دو ایستگاه E و F برای محاسبه مؤلفه شرق‌سوی جریان در نظر گرفته شده‌اند که مشخصات این ایستگاه‌ها در جدول 2 درج شده‌اند.

جدول ۲- مشخصات ایستگاه‌های انتخاب شده

	عرض جغرافیایی (درجه)	طول جغرافیایی (درجه)	عمق (متر)
E	۲۴/۳۱۹۶	-۶۵/۷۴۹۷	۵۶۹۹
F	۲۵/۷۱۹۲	-۶۵/۶۵۹۷	۵۹۴۰

سپس چگالی نسبی در مقطع طولی $W^{\circ} / ۸۵$ ، با استفاده از داده‌های ایستگاه‌هایی که در امتداد این طول جغرافیایی قرار دارند (شکل 2)، محاسبه می‌شود تا نوع شارش در راستای قائم موردنظری قرار گیرد [۱۱، ۱].

۳. یافته‌ها

نتایج حاصل از محاسبات در بخش اول تحقیق نشان می‌دهد که بیشینه جریان در نقطه G مرکز نقاط A، B، C و D (شکل 2) واقع در اطلس شمالی، $۲۲/۳$ سانتی‌متر بر ثانیه است. از نمودار شکل 4 که با استفاده از نتایج محاسبات در نقطه G رسم شده است، می‌توان نتیجه گرفت که تا نزدیکی عمق ۱۵۰ متر شرایط شارش، باروکلینیکی و از آن به بعد شرایط شارش باروتروپیک حاکم است.

علاوه بر در نظر گرفتن ویژگی‌های جغرافیایی منطقه، محاسبه عدد راسی در ناحیه موردمطالعه، می‌تواند تأیید مناسبی برای وجود جریان ژئوستروفیکی در منطقه موردمطالعه باشد. داده‌های اندازه گیری شده ماهواره‌ای پایگاه اطلاعاتی نوآ، در این منطقه سرعت جریان را در نقطه F، $11/80$ سانتی‌متر بر ثانیه نشان می‌دهد. همچنین در عرض جغرافیایی $N^{21^{\circ}}$ تا $N^{27^{\circ}}$ ، پارامتر کوریولی به طور متوسط $10^{-5} / ۵$ است و فاصله طولی در راستای عرض جغرافیایی تقریباً 220 کیلومتر بوده، بنابراین عدد راسی برابر خواهد بود با:

$$Ro = \frac{U}{f L} = \frac{0.1180}{5.9 \times 10^{-5} \times 220 \times 10^3} = 0.009091 \quad (8)$$

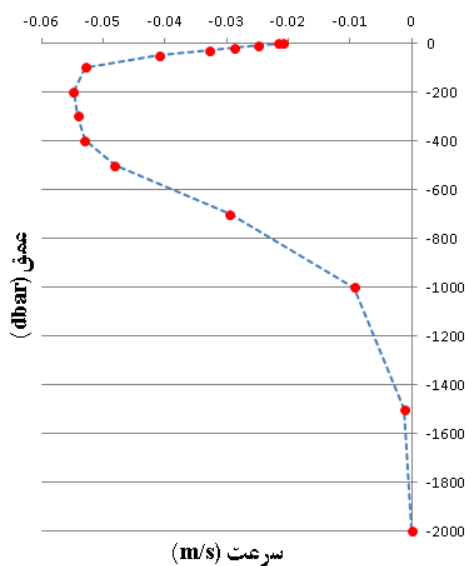
عدد راسی، عددی بدون بعد و برابر با نسبت نیروی اینرسی به نیروی کوریولی است. چون عدد راسی بسیار کمتر از یک است، نیروی کوریولی قابل توجه است، پس ترم‌های شتابی قابل صرف نظر کردن هستند. بنابراین در معادله حرکت می‌توان از این جمله‌ها در مقابل گرادیان فشار و کوریولی صرف نظر نمود و جریان‌های ژئوستروفیک را حساب کرد [۱۱، ۱۳].

بخش اول تحقیق: چهار ایستگاه C، A، B و D را در نظر گرفته که مشخصات آن‌ها در جدول 1 درج شده‌اند. با استفاده از اطلاعات این ایستگاه‌ها و رابطه‌های (1) تا (7) ، حجم ویژه، ژئوپتانسیل و درنهایت جریان ژئوستروفیک (در نقطه G) محاسبه شده است.

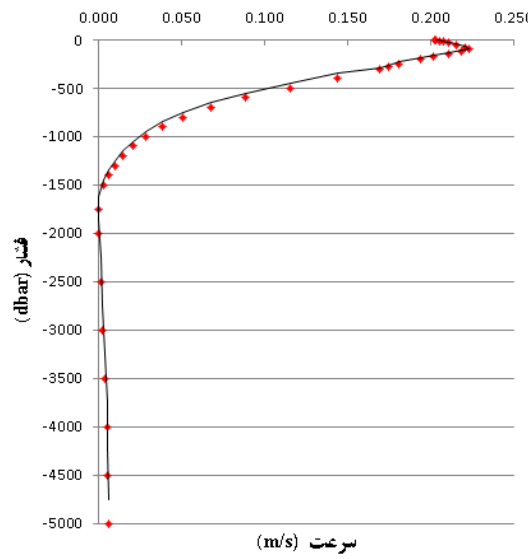
جدول ۱. مشخصات چهار ایستگاه مورداستفاده

	عرض جغرافیایی (درجه)	طول جغرافیایی (درجه)	عمق (متر)
A	۲۴/۴۹۹۸۸	-۶۶/۹۳۹۲	۵۶۹۹
B	۲۴/۴۹۸۹۳	-۶۴/۷۶۷۷	۵۹۴۰
C	۲۳/۶۲۱۲	-۶۵/۷۹۹۲	۵۸۳۴
D	۲۵/۷۱۹۲	-۶۵/۶۵۹۷	۵۱۵۷

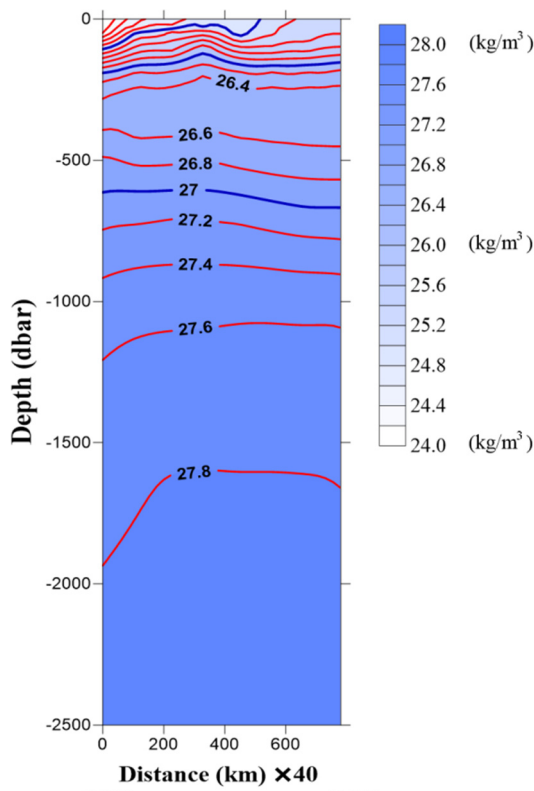
مقدار سرعت جریان ژئوستروفیکی به واسطه پردازش داده‌های ایستگاه‌های اقیانوس‌شناسی بالا با استفاده از داده‌های نوآ محاسبه شده‌اند.



شکل ۵. بزرگی جریان در مرکز دو ایستگاه E و F



شکل ۶. سرعت جریان محاسبه شده بر حسب عمق فشاری از سطح تا نزدیکی بستر در نقطه G



شکل ۷. محاسبه برش مقطعی چگالی نسبی در امتداد طول جغرافیایی $65^{\circ}8'W$ از عرض $21^{\circ}5'N$ تا $26^{\circ}42'N$ که از داده‌های نوآ محاسبه شده‌اند.

شکل ۷، برش مقطعی چگالی نسبی را نشان می‌دهد، در عمق‌های کمتر از ۱۰۰۰ متر (به ویژه بین ۲۰۰ تا ۱۰۰۰ متر) خطوط هم چگالی تقریباً موازی هستند، همچنین شیب تغییرات چگالی در نواحی سطحی بیشتر است.

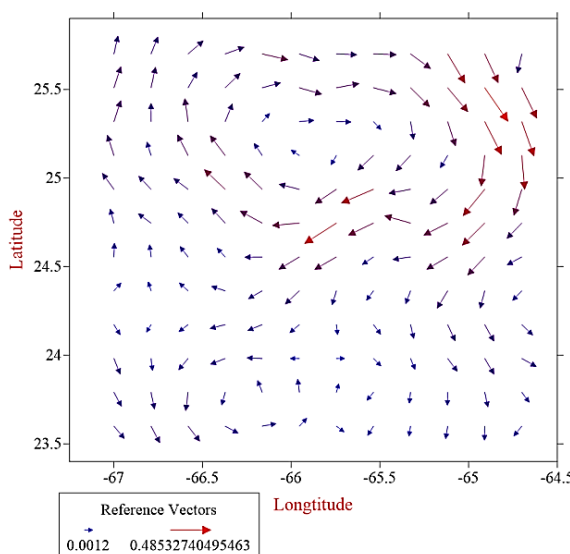
همچنین این شکل، نشان می‌دهد که جریان‌های سریع تر به نواحی با عمق کمتر از ۱۰۰۰ متر تعلق دارند، بنابراین بررسی تغییرات چگالی مفید خواهد بود که در بخش بعد تحقیق انجام شده است. این شکل تغییر ناگهانی در جریان سطحی را نیز نشان می‌دهد، بررسی تغییرات میدانی دما و شوری، همچنین دمای پتانسیل و چگالی پتانسیل نشان می‌دهد که چگونگی تغییر ناگهانی شوری در آن عمق باعث تغییر ناگهانی جریان در لایه سطحی شده است.

در بخش دوم تحقیق، پس از محاسبه مؤلفه شرق سوی جریان، نمودار این مؤلفه بر حسب عمق (شکل ۵) رسم شده است. سپس شکل ۶، حاصل از محاسبه برش مقطعی چگالی نسبی در منطقه مورد مطالعه با استفاده از داده‌های نوآ، ترسیم شده است. در این شکل فاصله افقی در جهت جنوب به شمال تعریف شده است. با در نظر گرفتن خطاهای موجود در محاسبات، از مقایسه این دو شکل می‌توان دریافت که جریان‌های سریع تر به نواحی با عمق کمتر از ۱۰۰۰ متر تعلق دارند و در آن نواحی شیب تغییرات چگالی بیشتر است، بر عکس در نواحی که تغییرات چگالی بر حسب فاصله کمتر بوده اندازه جریان نیز کوچک‌تر است.

جریان در هسته گلف استریم را با معادله‌های ژئوستروفیک محاسبه نمودند و بیشینه سرعت در هسته را با خطای معادل ۱۰ درصد به دست آوردند، اما وقتی اثر انحرافی گلف استریم اضافه شود، تفاوت سرعت محاسبه و مشاهده شده به کمتر از ۵ درصد افت می‌نماید [۹].

صفحة ERDDAP از سایت نوآ حاوی اطلاعات مفیدی از جمله مقدار مؤلفه‌های جریان ژئوستروفیک سطحی آب‌های جهان است. لازم به یادآوری است که این مقادیر حاصل از پردازش اطلاعات ماهواره‌ای شبی سطح دریا هستند.

شکل ۷ میدان جریان ژئوستروفیک سطحی ناحیه معروفی شده در جدول ۱ است که با استفاده از اطلاعات ERDDAP (مقادیر مؤلفه‌های جریان) و نرم‌افزار سورفر ترسیم شده است و شکل کلی جریان ژئوستروفیک سطحی این ناحیه را نشان می‌دهد.



شکل ۷. میدان جریان ژئوستروفیک سطحی منطقه معروفی شده در جدول ۱ حاصل از استخراج مؤلفه‌های جریان از نوآ

با توجه به شکل بیشینه و کمینه جریانی معادل با ۴۸ و ۰/۱۲ سانتی متر بر ثانیه در این حوزه قابل مشاهده بوده است. مهم‌تر اینکه مقدار جریان ژئوستروفیک سطحی در نقطه G از شکل ۳ با توجه به مقادیر به دست آمده از ERDDAP برابر با ۲۸ سانتی متر بر ثانیه است.

۴. بحث

همان‌طور که در شکل‌های ۴ و ۵ دیده می‌شود، جریان‌های سریع تر به نواحی با عمق کمتر از ۱۰۰۰ متر تعلق دارند که در آن نواحی شبی تغییرات چگالی بیشتر است (بدین صورت که در نواحی با عمق کمتر از ۱۰۰۰ متر شارش بارو کلینیک و در نواحی عمیق‌تر شارش بارو تروپیک وجود دارد).

موازی بودن خطوط هم‌چگال و شبی این خطوط در شکل ۶ نشان می‌دهند که در لایه سطحی جریان ژئوستروفیک می‌تواند با دقت به نسبت خوبی برقرار باشد؛ بنابراین مقایسه بزرگی جریان اندازه‌گیری شده با مقادیر جریان محاسبه شده می‌تواند مفید باشد.

طبق اطلاعات استخراج شده از نوآ، در ایستگاه مطالعاتی G، بزرگی جریان اندازه‌گیری شده در عمق‌های ۲۰ و ۳۰ و ۵۰ متر به ترتیب برابر با ۲۲/۳۲ و ۲۵/۴ و ۱۹/۱۹ سانتی متر بر ثانیه هستند و جریان محاسبه شده در این اعماق به ترتیب برابر با ۲۰/۸ و ۲۱/۰۷ و ۲۱/۵۶ سانتی متر بر ثانیه به دست آمده است. میانگین خطای نسبی ^{۱۶} در این اعماق تقریباً برابر با ۱۲/۰۷ متر به ترتیب مذکور است. طبق داده‌های دیگر از ماهواره نوآ که در زمان مشابه برای این ایستگاه وجود دارد، بزرگی میدانی جریان در عمق‌های ۳۰ و ۵۰ و ۱۰۰ متر به ترتیب برابر با ۲۴/۶ و ۲۲/۶ و ۱۸/۵ سانتی متر بر ثانیه هستند. جریان محاسبه شده در این اعماق به ترتیب برابر با ۲۱/۰۷ و ۲۱/۵۶ و ۲۲/۳ سانتی متر بر ثانیه به دست آمده‌اند، میانگین خطای نسبی در این اعماق تقریباً برابر با ۱۳/۲۷ درصد محاسبه شد.

میانگین بیشینه جریان‌های مورد استفاده داده‌های ماهواره نوآ برابر با ۲۵/۰۱ سانتی متر بر ثانیه است که با بیشینه جریان محاسبه شده در این تحقیق (۲۲/۳ سانتی متر بر ثانیه) تطابق قابل قبولی دارد.

آن چه مسلم است صرف نظر کردن از جمله‌های اصطکاک و انحرافی جریان در محاسبات یا به عبارت دیگر صرف نظر کردن از جمله‌های اینرسی در معادله‌های مورداستفاده، باعث ایجاد این خطأ در محاسبات شده است. همان‌طور که در بیشینه تحقیق توضیح داده شد؛ جان و همکارانش در تحقیق خود،

توجه به تعریف جریان ژئوستروفیک و شرایط محیطی خلیج فارس می‌توان گفت که مقدار به دست آمده با خطای به نسبت بزرگی همراه بوده و تعادل شبه ژئوستروفیک در خلیج فارس برقرار است.

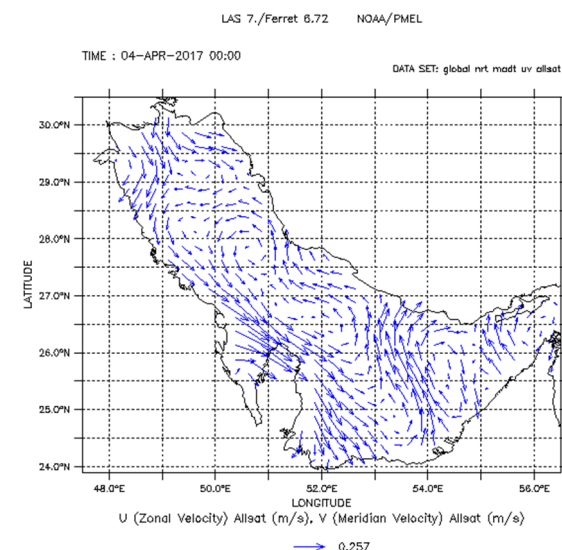
از طرفی با توجه به تفاوت محیط آبی خلیج فارس و اطلس شمالی، مساوی قرار دادن خطای مقدار جریان ژئوستروفیک در اطلس شمالی با خطای مقدار جریان ژئوستروفیک خلیج فارس منطقی نیست.

۵. نتیجه‌گیری

محاسبات انجام شده نشان می‌دهد که بیشینه جریان ژئوستروفیک در منطقه موردمطالعه $22/3$ سانتی متر بر ثانیه است. همچنین تا عمقی در حدود 1500 متر شرایط شارش بارو کلینیکی و در اعماق پایین‌تر به بعد شرایط شارش باروتروپیک حاکم است. مقایسه نتایج این مطالعه با داده‌های ماهواره نوا آنطباق خوبی را نشان می‌دهد. میانگین خطای میدان جریان ژئوستروفیک سطحی در سطح خلیج فارس به صورت نسبی جریان محاسبه شده در سطح نسبت به این داده‌ها تقریباً معادل با $12/7$ درصد به دست آمده که این خطای شاید بتواند به دلیل صرف نظر کردن از اثر باد و انحنای جریان باشد. همچنین می‌توان نتیجه گرفت که جریان‌های سریع تر به عمق‌های کمتر از 1000 متر تعلق دارند. بررسی‌ها در این مطالعه نشان می‌دهد که اغلب تغییرپذیری شارش در راستای قائم می‌تواند به یک بخش بارو کلینیکی که مستقل از عمق است و یک بخش بارو کلینیکی که به عمق وابسته است، تقسیم شود. به عبارت دیگر شارش در راستای قائم در این منطقه می‌تواند هم شرایط بارو کلینیک و هم باروتروپیک داشته باشد. محدودیت‌های استفاده از این روش به دلیل صرف نظر کردن از انحنای جریان باعث ایجاد خطای در محاسبات می‌شود. بنابراین در محاسبات کاربردی در نظر گرفتن این خطای مهم و قابل توجه به نظر می‌رسد.

طبق نتیجه این پژوهش (شکل ۴) جریان ژئوستروفیک سطحی در G برابر با 20 سانتی متر بر ثانیه است و این گویای خطای تقریباً $28/6$ درصدی برای مقادیر محاسبه شده در این پژوهش نسبت به مقادیر ماهواره‌ای است. با داشتن این خطای می‌توان نتیجه دیگری ارائه کرد و آن مقدار جریان ژئوستروفیک در نواحی دیگر است، به عنوان نمونه؛ این مقدار در خلیج فارس محاسبه شده است که در زیر آمده است.

بیشینه و کمینه جریان ژئوستروفیک در سطح خلیج فارس که از سایت ماهواره نوا به دست آمده است؛ به ترتیب $66/9$ و $0/06$ سانتی متر بر ثانیه است. با احتساب خطای مقادیر این پژوهش نسبت به مقادیر ماهواره‌ای که در مرحله قبل به دست آمده، می‌توان نتیجه گرفت بیشینه و کمینه جریان ژئوستروفیک در سطح خلیج فارس به ترتیب $47/77$ و $0/043$ سانتی متر بر ثانیه است. در سایت ماهواره Aviso نیز میدان جریان ژئوستروفیک سطحی در خلیج فارس به صورت شکل ۸ است.



شکل ۸ میدان جریان ژئوستروفیک سطحی برگرفته از سایت Aviso

خلیج فارس به علت مجاورت با خشکی‌های اطراف، به شدت متأثر از وزش بادهایی است که از این مناطق وزیده و گستره دریا را نیز تحت تأثیر قرار می‌دهد. از طرفی این حوزه آبی میانگین عمقی حدود 35 متر دارد و از سه طرف بسته است. بنابراین بسیار تحت تأثیر اصطکاک دیواره‌ها و بستر است. با

مراجع

- [13] Richard Nixon. National Oceanic and Atmospheric Administration [Internet]. 2016 [cited 2016 Jan 9]. Available from: <http://www.nodc.noaa.gov>.

بی‌نوشت

1. Absolute Dynamic Topography (ADT)
2. Quasi Geostrophic (QG)
3. warm core eddies
4. west boundary currents
5. The Regional Ocean Modeling System
6. east Australian current
7. Salum
8. Bahía De banderas, Mexico
9. Kuroshio
10. Cape Hatteras
11. specific volume
12. specific volume anomaly
13. Excel
14. Surfer
15. NOAA

- [1] Stewart RH. Introduction to physical oceanography. Texas: A and M University; 2008. p. 151-182.
- [2] Yang Yu, Longfei W, Quan'an Z, Ziwei L. Geostrophic current estimation using altimetric cross-track method in northwest Pacific. IOP Conference Series: Earth and Environmental Science. 2014;17(012105).
- [3] Weiss Jeffrey B, Sauret A, Chlamall VK. Structures in 3D quasi-geostrophic flows [Internet]. 2012[cited 2015 Aug 14]. Available from:<https://www.whoi.edu/fileserver.do?id=159824&pt=10&p=96393>.
- [4] Macdonald H, Roughan SM, Baird ME, Wilkin J. A numerical modeling study of the East Australian Current encircling and over washing a warm-core eddy. Journal of Geophysical Research Oceans. 2013;(118): 301–15.
- [5] Kamel MS. Geostrophic Current Pattern off the Egyptian Mediterranean Coast Oceanologia. 2010;52(2): 299-310.
- [6] Plata L, Filonov A, Tereshchenko I, Nelly L, Monzón C, Avalos D, Vargas C. Geostrophic Currents in the Presence of an Internal Waves Field in Bahía De banderas, Mexico. e-Gnosis. 2006; 4.
- [7] Strub PT, Chereskin TK, Niiler PP, James C, Levine MD. Altimeter-derived variability of surface velocities in the California Current System: 1. Evaluation of TOPEX altimeter velocity resolution. Journal of Geophysical Research: Oceans. 1997 Jun 15;102(C6):12727-48.
- [8] Uchida H, Imawaki S, Hu JH. Comparison of Kuroshio surface velocities derived from satellite altimeter and drifting buoy data. Journal of Oceanography. 1998 Jan 1;54(1):115-22.
- [9] Johns E, Watts DR, Rossby HT. A test of geostrophy in the Gulf Stream. Journal of Geophysical Research: Oceans. 1989 Mar 15;94(C3):3211-22.
- [10] Mercier H, Arhan M, Lutjeharms JR. Upper-layer circulation in the eastern Equatorial and South Atlantic Ocean in January–March 1995. Deep Sea Research Part I: Oceanographic Research Papers. 2003 Jul 1;50(7):863-87.
- [11] Gill AE. Atmosphere Ocean Dynamics. England: Academic Press; 1982. p.664.
- [12] UNESCO technical papers in marine science. International oceanography tables. France: The United Nations Educational; 1987.